

Teoretyczne aspekty nadprzewodnictwa w tlenkach kobaltu

M. Mierzejewski

Instytut Fizyki, Uniwersytet Śląski, Katowice

E. Kochetov

JINR, DUBNA

A. Ferraz

International Center of Condensed Matter Physics, Univ. of Brasilia

plan

Unikalne własności nadprzewodników wysokotemperaturowych (HTSC)

plan

Unikalne własności nadprzewodników wysokotemperaturowych (HTSC)

- układy qwazi-dwuwymiarowe

Unikalne własności nadprzewodników wysokotemperaturowych (HTSC)

- układy qwazi-dwuwymiarowe
- nadprzewodnictwo występuje w pobliżu fazy izolatora Motta

plan

Unikalne własności nadprzewodników wysokotemperaturowych (HTSC)

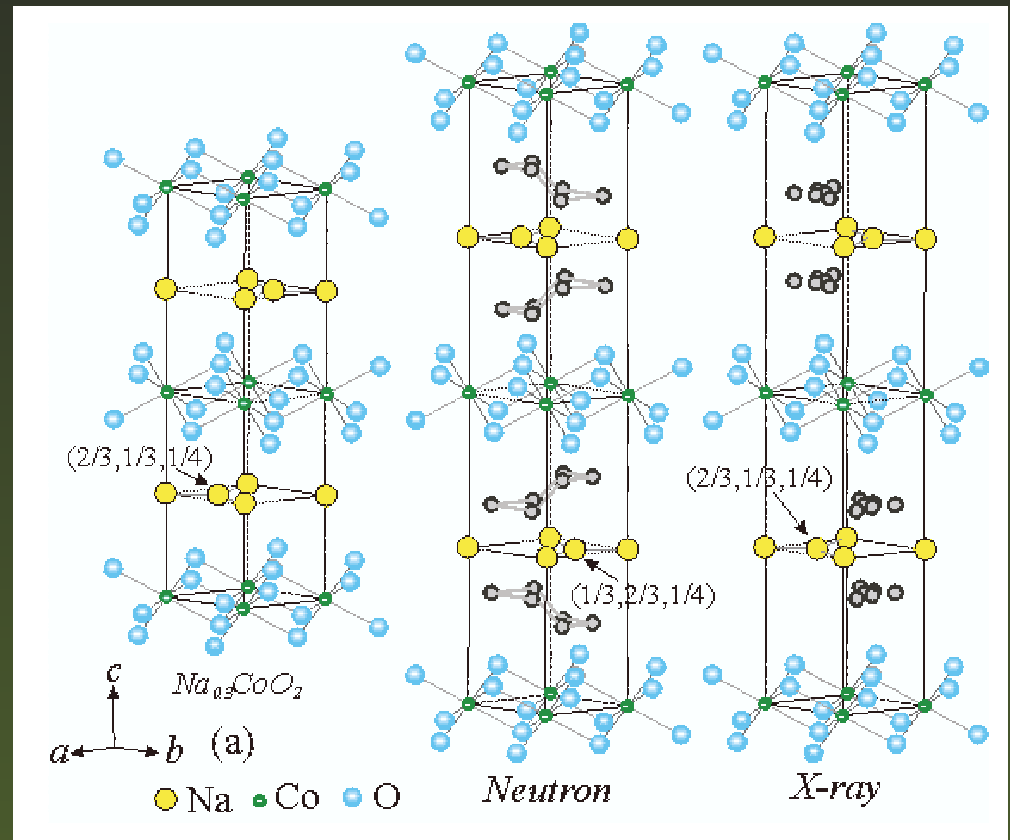
- układy qwazi-dwuwymiarowe
- nadprzewodnictwo występuje w pobliżu fazy izolatora Motta
- duża wartość J

plan

Unikalne własności nadprzewodników wysokotemperaturowych (HTSC) (kobaltowych)

- układy qwazi-dwuwymiarowe ✓
- nadprzewodnictwo występuje w pobliżu fazy izolatora Motta ✓
- duża wartość J ?

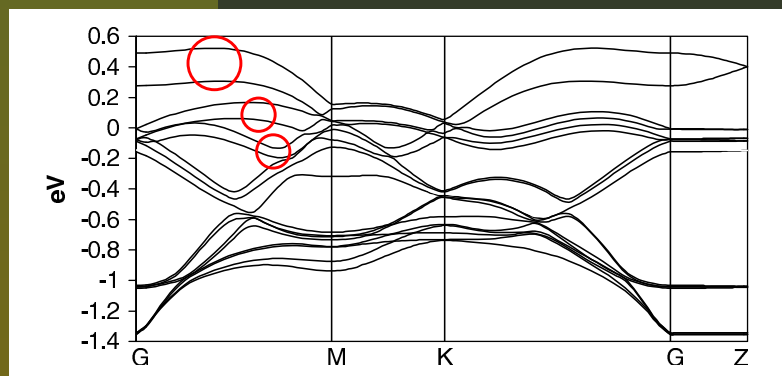
$\text{Na}_x\text{CoO}_2 \cdot y\text{H}_2\text{O}$: modele 2D/3D



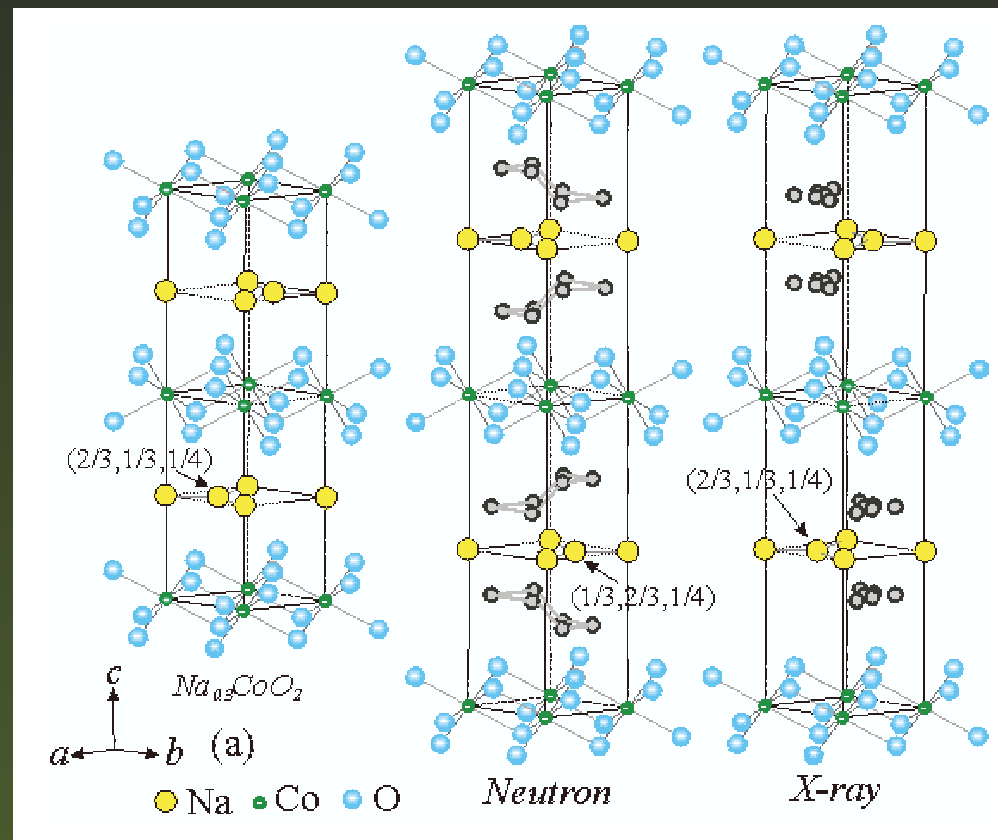
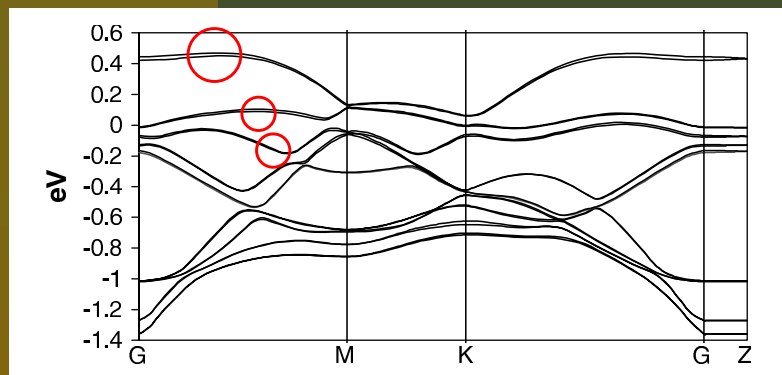
$\text{Na}_x\text{CoO}_2 \cdot y\text{H}_2\text{O}$: modele 2D/3D

Marianetti, PRL'04:

$\text{Na}_{1/3}\text{CoO}_2$



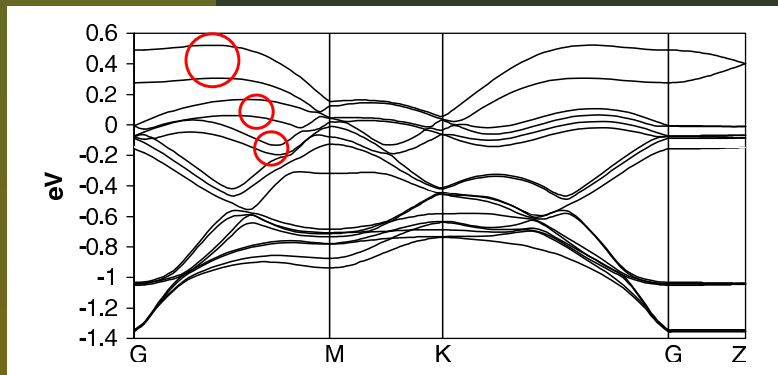
$\text{Na}_{1/3}\text{CoO}_2(\text{H}_2\text{O})_{4/3}$



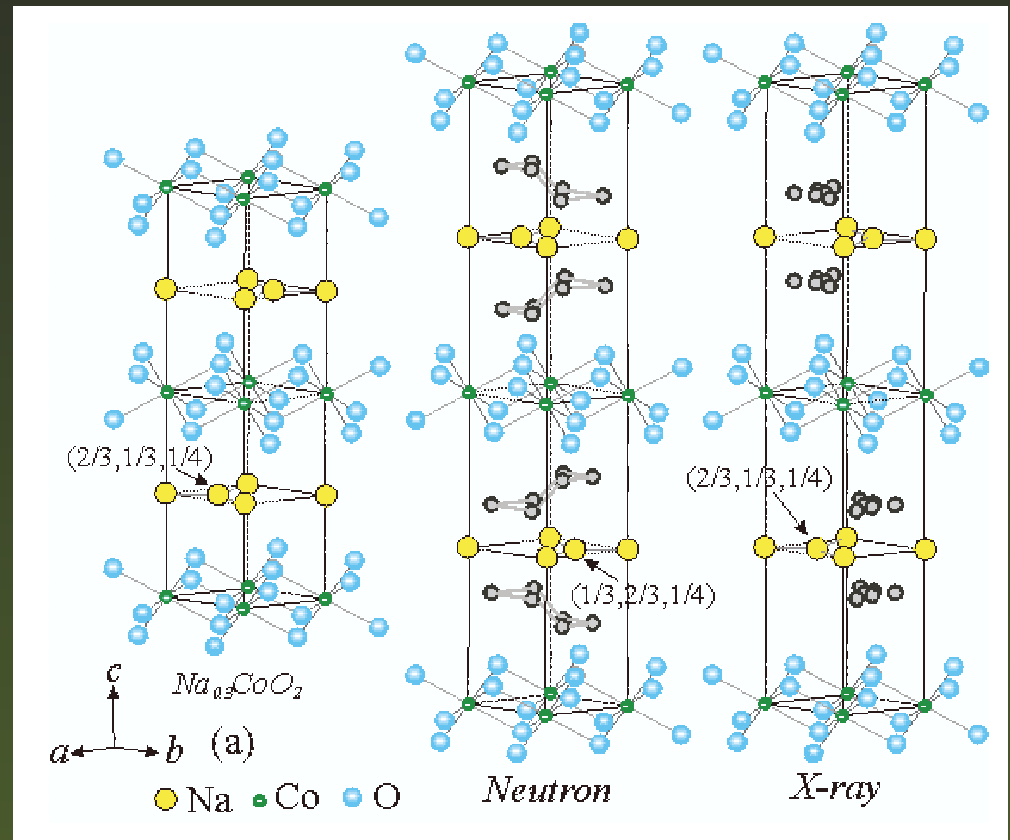
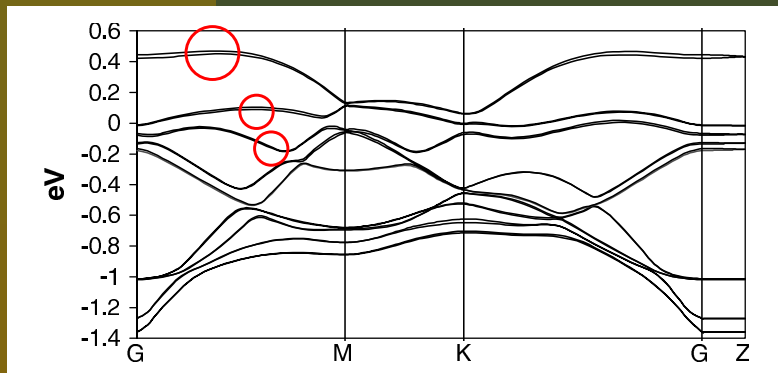
$\text{Na}_x\text{CoO}_2 \cdot y\text{H}_2\text{O}$: modele 2D/3D

Marianetti, PRL'04:

$\text{Na}_{1/3}\text{CoO}_2$



$\text{Na}_{1/3}\text{CoO}_2(\text{H}_2\text{O})_{4/3}$



Jin, PRL'03: $\rho_c/\rho_{ab} \sim 10^3$

korelacje elektronowe

Brak bezpośrednich danych:

- obliczenia z pierwszych zasad
(Zou, PRB'04; Zhang, PRL'04):
większość nośników : a_{1g}
szerokość pasma: $W \simeq 1 \div 1.6$ eV
odpychanie Coulombowskie: $U \simeq 4$ eV

korelacje elektronowe

Brak bezpośrednich danych:

- obliczenia z pierwszych zasad
(Zou, PRB'04; Zhang, PRL'04):
większość nośników : a_{1g}
szerokość pasma: $W \simeq 1 \div 1.6$ eV
odpychanie Coulombowskie: $U \simeq 4$ eV
- szerokość pasma wyznaczona z ARPES
 $\text{Na}_{0.6}\text{CoO}_2$: $t \simeq 10 \div 30$ meV (Yang, PRL'04)
 $\text{Na}_{0.7}\text{CoO}_2$: $t \simeq 10$ meV (Hasan, PRL'04)
 $\text{Na}_{0.3}\text{CoO}_2$: $W \simeq 200$ meV (Hasan, cond-mat/0501530)

korelacje elektronowe

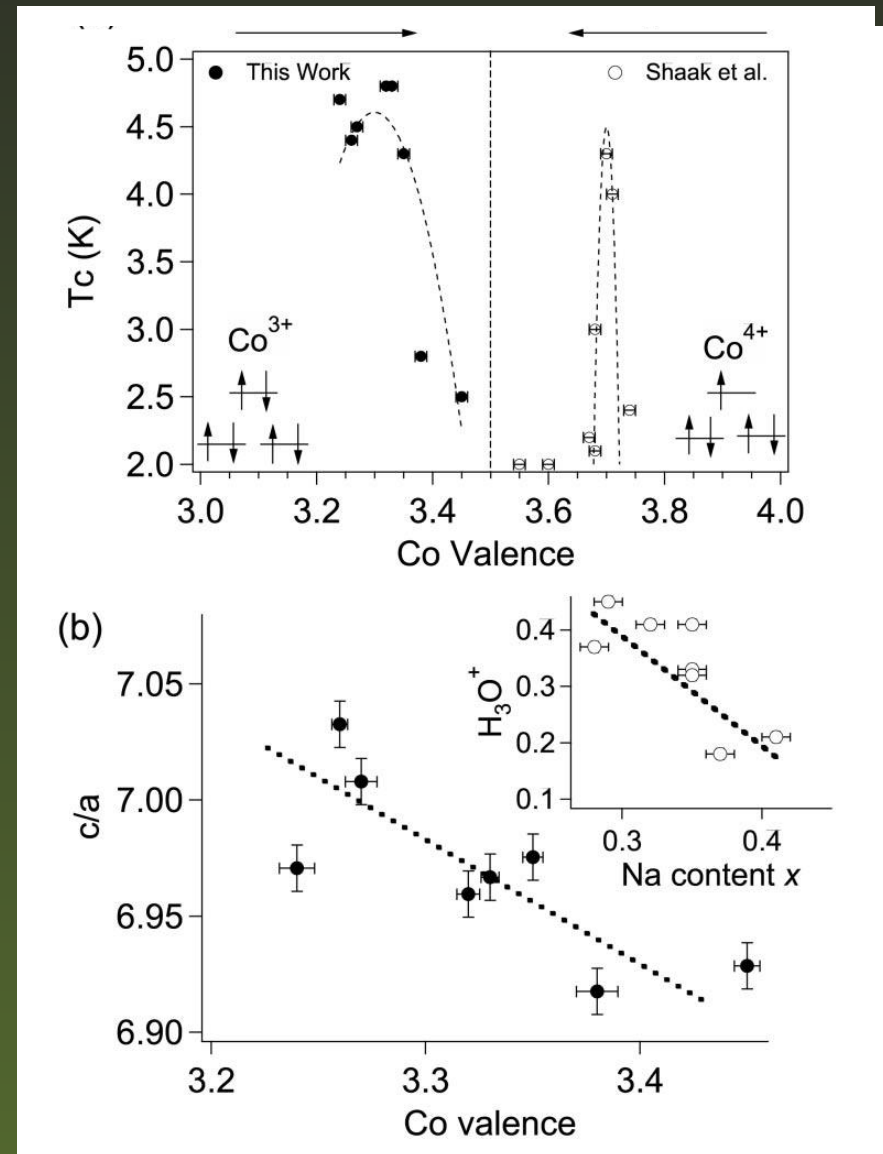
Brak bezpośrednich danych:

- obliczenia z pierwszych zasad
(Zou, PRB'04; Zhang, PRL'04):
większość nośników : a_{1g}
szerokość pasma: $W \simeq 1 \div 1.6 \text{ eV}$
odpychanie Coulombowskie: $U \simeq 4 \text{ eV}$
- szerokość pasma wyznaczona z ARPES
 $\text{Na}_{0.6}\text{CoO}_2$: $t \simeq 10 \div 30 \text{ meV}$ (Yang, PRL'04)
 $\text{Na}_{0.7}\text{CoO}_2$: $t \simeq 10 \text{ meV}$ (Hasan, PRL'04)
 $\text{Na}_{0.3}\text{CoO}_2$: $W \simeq 200 \text{ meV}$ (Hasan, cond-mat/0501530)
- rozbieżność między LDA i ARPES \longrightarrow korelacje elektronowe

koncentracja nośników w pł. CoO_2

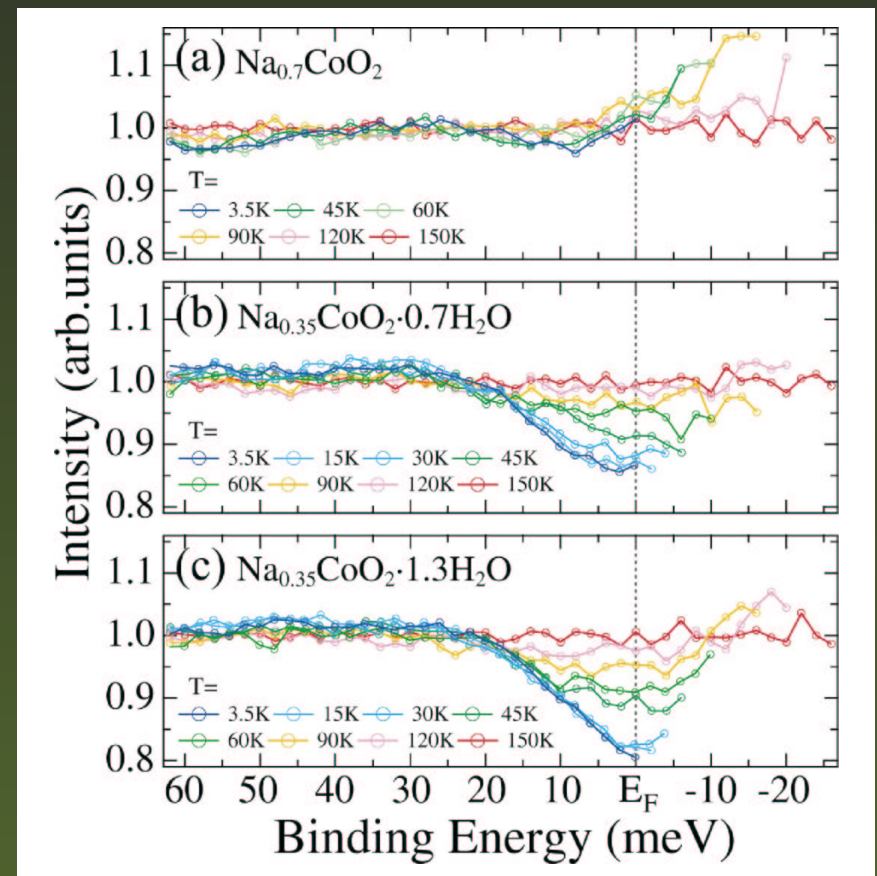
$\text{Na}_x\text{CoO}_2 \cdot y\text{H}_2\text{O}$:
jon hydronowy (H_3O^+)
dodatkowym źródłem
nośników (Milne, PRL'04)

ARPES ??



obecność pseudoszczeliny

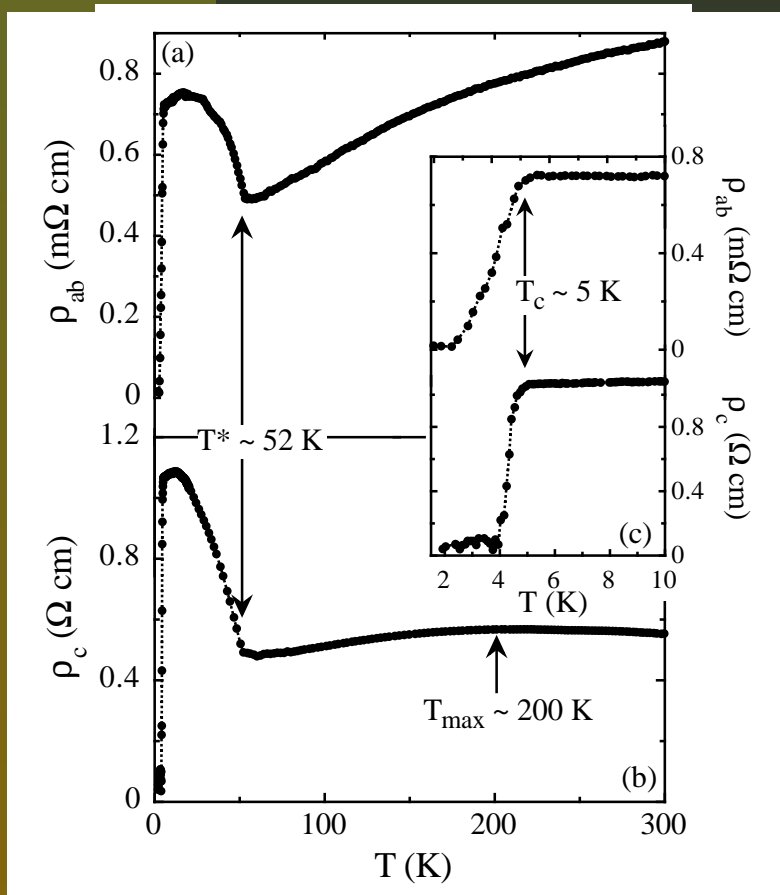
Laser-excited PES
Shimojima, PRB'05



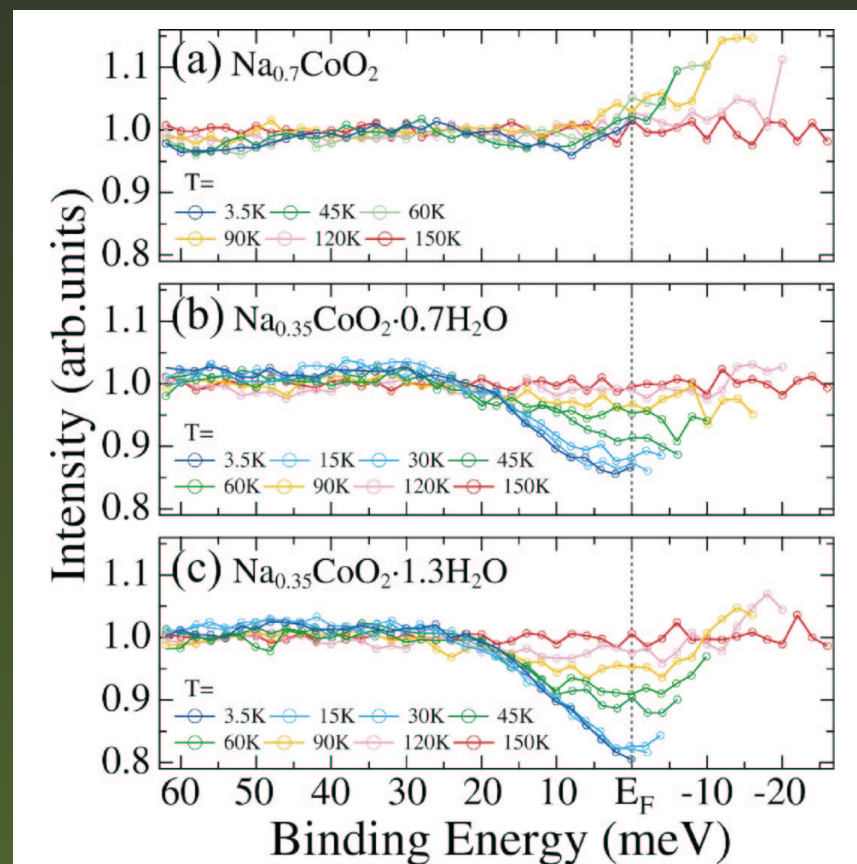
$$k_B T_c \simeq 1 \text{ meV}$$

obecność pseudoszczeliny

Jin, PRL'03



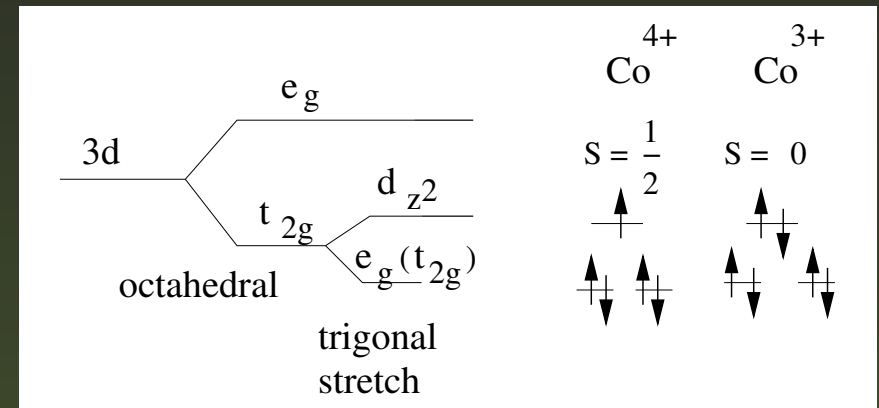
Laser-excited PES
Shimoyama, PRB'05



$$k_B T_c \simeq 1 \text{ meV}$$

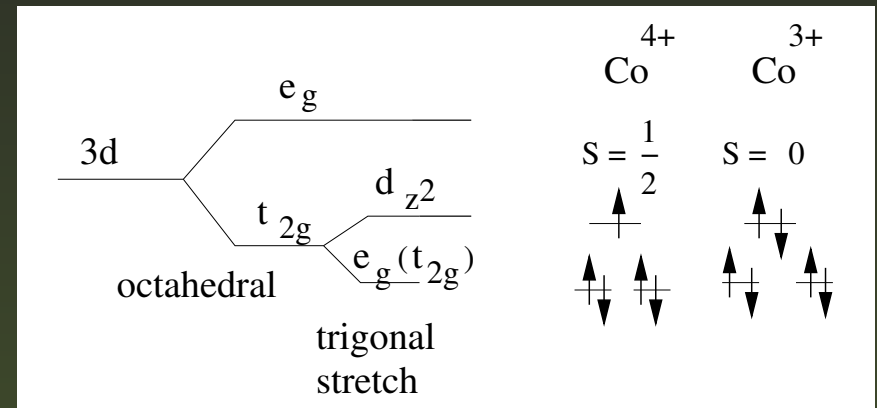
modele jednopasmowe/wielopasmowe

Pole krystaliczne:
Baskaran, PRL'03

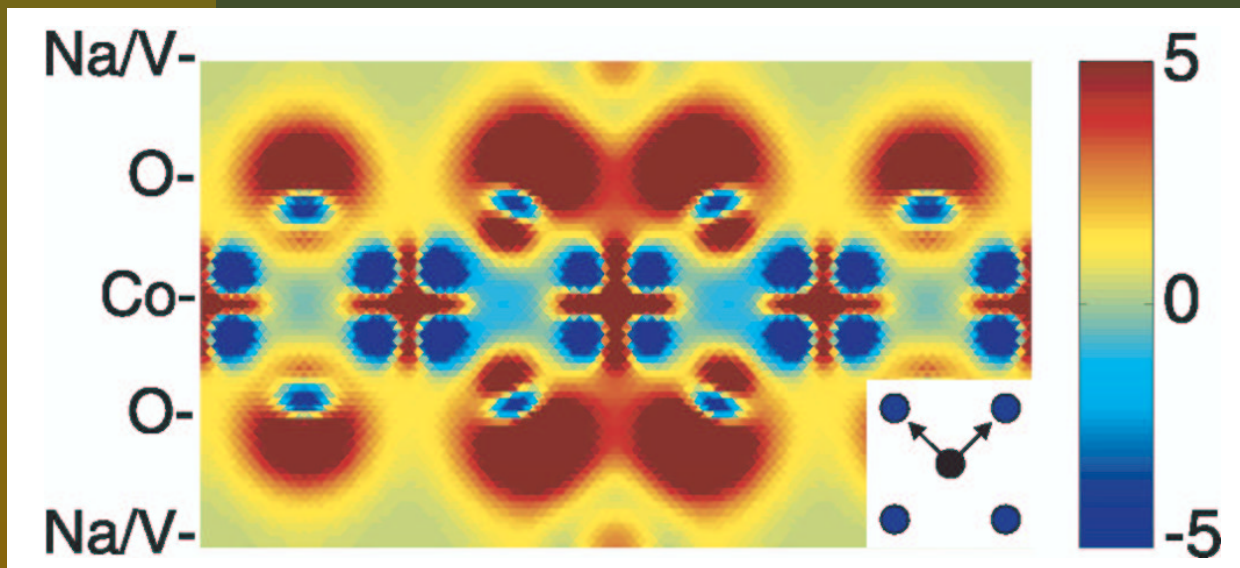


modele jednopasmowe/wielopasmowe

Pole krystaliczne:
Baskaran, PRL'03



LDA: $\rho(Na_{1/3}CoO_2) - \rho(CoO_2)$ (Marianetti, PRL'04)

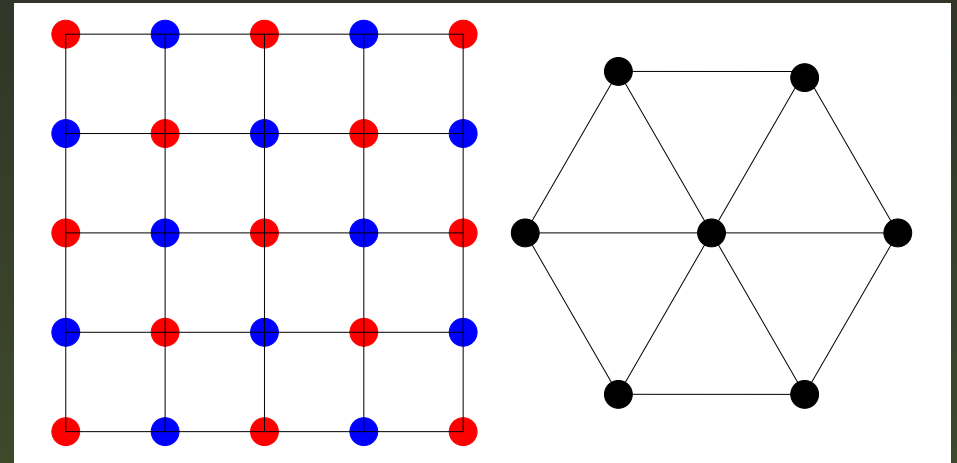


model $t-J$ K. Chao, J. Spalek, A. Oleś, J. Phys. C (1977)

$$H = -t \sum_{\langle ij \rangle \sigma} c_{i\sigma}^\dagger c_{j\sigma} + J \sum_{\langle ij \rangle} (S_i \cdot S_j - \frac{1}{4} n_i n_j)$$

model $t-J$ K. Chao, J. Spalek, A. Oleś, J. Phys. C (1977)

$$H = -t \sum_{\langle ij \rangle \sigma} c_{i\sigma}^\dagger c_{j\sigma} + J \sum_{\langle ij \rangle} (S_i \cdot S_j - \frac{1}{4} n_i n_j)$$



Dla sieci kwadratowej:

$$H = -t \sum_{\langle i,j \rangle \sigma} c_{i\sigma}^\dagger c_{j\sigma}$$

■ brak frustracji w oddziaływaniu

$$J \sum_{\langle i,j \rangle} \vec{S}_i \cdot \vec{S}_j$$

■ symetria $t \rightarrow -t$: $c \rightarrow -c$ albo $c \rightarrow -c$

■ symetria cząstka-dziura: $t \rightarrow -t$, $c_{i\sigma} \rightarrow c_{i-\sigma}^\dagger$

$t-J$: obsadzenie węzłów sieci

Jak uwzględnić pojedyncze obsadzenie węzłów sieci

t - J : obsadzenie węzłów sieci

Jak uwzględnić pojedyncze obsadzenie węzłów sieci
Niewolnicze bozony (*slave boson* - SB):

$$c_{i\sigma} = f_{i\sigma} b_i^\dagger \quad b_i^\dagger b_i + \sum_{\sigma} f_{i\sigma}^\dagger f_{i\sigma} \equiv Q_i = 1$$

t - J : obsadzenie węzłów sieci

Jak uwzględnić pojedyncze obsadzenie węzłów sieci
Niewolnicze bozony (*slave boson* - SB):

$$c_{i\sigma} = f_{i\sigma} b_i^\dagger \quad b_i^\dagger b_i + \sum_{\sigma} f_{i\sigma}^\dagger f_{i\sigma} \equiv Q_i = 1$$

Niewolnicze fermiony (*slave fermion* - SF):

$$c_{i\sigma} = b_{i\sigma} f_i^\dagger \quad f_i^\dagger f_i + \sum_{\sigma} b_{i\sigma}^\dagger b_{i\sigma} \equiv Q_i = 1$$

t - J : obsadzenie węzłów sieci

Jak uwzględnić pojedyncze obsadzenie węzłów sieci
Niewolnicze bozony (*slave boson* - SB):

$$c_{i\sigma} = f_{i\sigma} b_i^\dagger \quad b_i^\dagger b_i + \sum_{\sigma} f_{i\sigma}^\dagger f_{i\sigma} \equiv Q_i = 1$$

Niewolnicze fermiony (*slave fermion* - SF):

$$c_{i\sigma} = b_{i\sigma} f_i^\dagger \quad f_i^\dagger f_i + \sum_{\sigma} b_{i\sigma}^\dagger b_{i\sigma} \equiv Q_i = 1$$

Średnie pole : $\langle Q_i \rangle = 1$, separacja pól f i b

SB \rightarrow antyferromagnetyzm zanika dla $\delta = 0$ (Feng, PRB'94)

SF \rightarrow antyferromagnetyzm stabilny dla $\delta = < 0.6$ (Kane, PRB'90)

M.M., E. Kochetov (DUBNA), A. Ferraz (BRASIL)

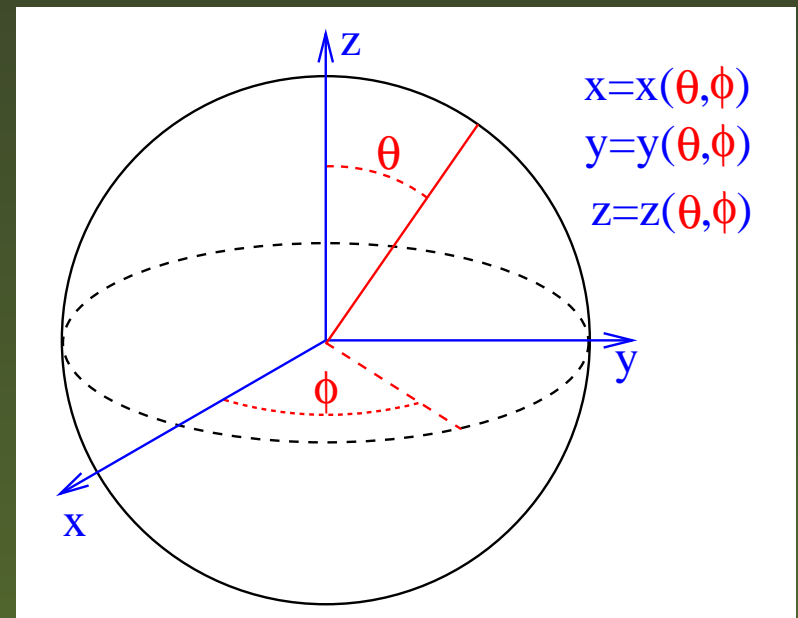
$$\text{SF:}c_{i\sigma} = b_{i\sigma} f_i^\dagger = (b_{i\sigma} e^{i\phi_i})(f_i e^{i\phi_i})^\dagger$$

$$Z_{t-J} = \int \prod_i D\bar{b}_{i\uparrow} D b_{i\uparrow} D\bar{b}_{i\downarrow} D b_{i\downarrow} D\bar{f}_i D f_i e^{S_{t-J}(\bar{b}_\sigma, b_\sigma, f)}$$

$$\text{SF:}c_{i\sigma} = b_{i\sigma} f_i^\dagger = (b_{i\sigma} e^{i\phi_i})(f_i e^{i\phi_i})^\dagger$$

$$Z_{t-J} = \int \prod_i D\bar{b}_{i\uparrow} D b_{i\uparrow} D\bar{b}_{i\downarrow} D b_{i\downarrow} D\bar{f}_i D f_i e^{S_{t-J}(\bar{b}_\sigma, b_\sigma, f)}$$

Pojedyncze obsadzenie $\rightarrow \bar{b}_{i\uparrow} b_{i\uparrow} + \bar{b}_{i\downarrow} b_{i\downarrow} + \bar{f}_i f_i = 1$



$$\text{SF: } c_{i\sigma} = b_{i\sigma} f_i^\dagger = (b_{i\sigma} e^{i\phi_i}) (f_i e^{i\phi_i})^\dagger$$

$$Z_{t-J} = \int \prod_i D\bar{b}_{i\uparrow} D b_{i\uparrow} D\bar{b}_{i\downarrow} D b_{i\downarrow} D\bar{f}_i D f_i e^{S_{t-J}(\bar{b}_\sigma, b_\sigma, f)}$$

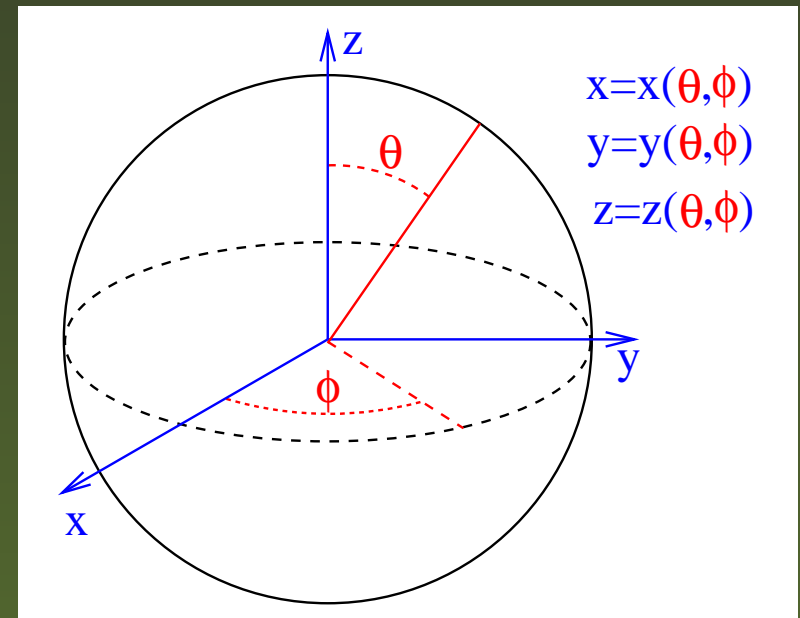
Pojedyncze obsadzenie $\rightarrow \bar{b}_{i\uparrow} b_{i\uparrow} + \bar{b}_{i\downarrow} b_{i\downarrow} + \bar{f}_i f_i = 1$

$$b_{i\uparrow}(z_i, \xi_i) = \frac{\exp(i\phi_i)}{\sqrt{1 + |z_i|^2 + |\xi_i|^2}}$$

$$b_{i\downarrow}(z_i, \xi_i) = b_{i\uparrow}(z_i, \xi_i) z_i$$

$$f_i(z_i, \xi_i) = b_{i\uparrow}(z_i, \xi_i) \xi_i$$

Zmienne z_i, ξ_i są niezależne !!!



wady i zalety parametryzacji

zalety:

- pojedyncze obsadzenie węzłów sieci
- zmienne z , ξ niezależne
- “gauge” niezmienniczość pól z , ξ

$$c_{i\sigma} = f_{i\sigma} b_i^\dagger = (f_{i\sigma} e^{i\phi_i})(b_i e^{i\phi_i})^\dagger$$

wady:

- Powiązanie z , ξ z polami fermionów i bozonów
- Przybliżenia mogą łamać symetrie

interpretacja:

- ξ - holony o ładunku e , z - spinony

mechanizm RVB

$$J \sum_{\langle ij \rangle} \left(S_i \cdot S_j - \frac{1}{4} n_i n_j \right) \rightarrow -J \sum_{\langle ij \rangle} \Delta_{ij} \left(c_{i\uparrow}^\dagger c_{j\downarrow}^\dagger - c_{i\downarrow}^\dagger c_{j\uparrow}^\dagger \right) + h.c.$$

mechanizm RVB

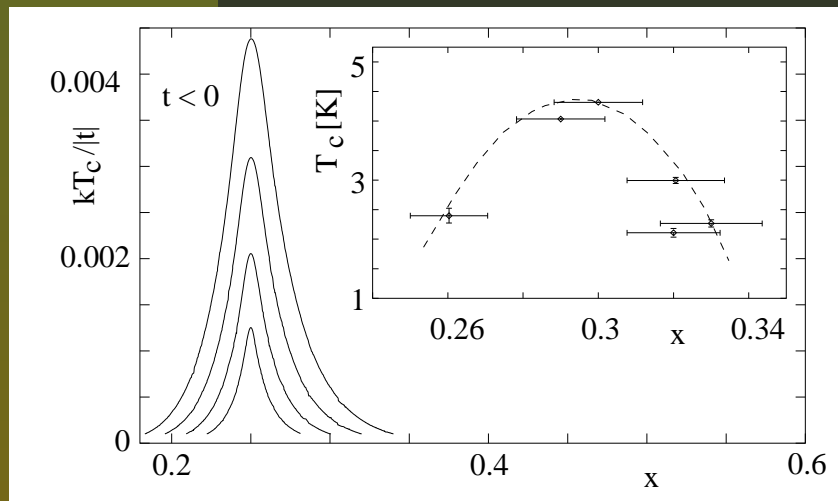
$$J \sum_{\langle ij \rangle} \left(S_i \cdot S_j - \frac{1}{4} n_i n_j \right) \rightarrow -J \sum_{\langle ij \rangle} \Delta_{ij} \left(c_{i\uparrow}^\dagger c_{j\downarrow}^\dagger - c_{i\downarrow}^\dagger c_{j\uparrow}^\dagger \right) + h.c.$$

zastosowanie do $\text{Na}_x\text{CoO}_2 \cdot y\text{H}_2\text{O}$:

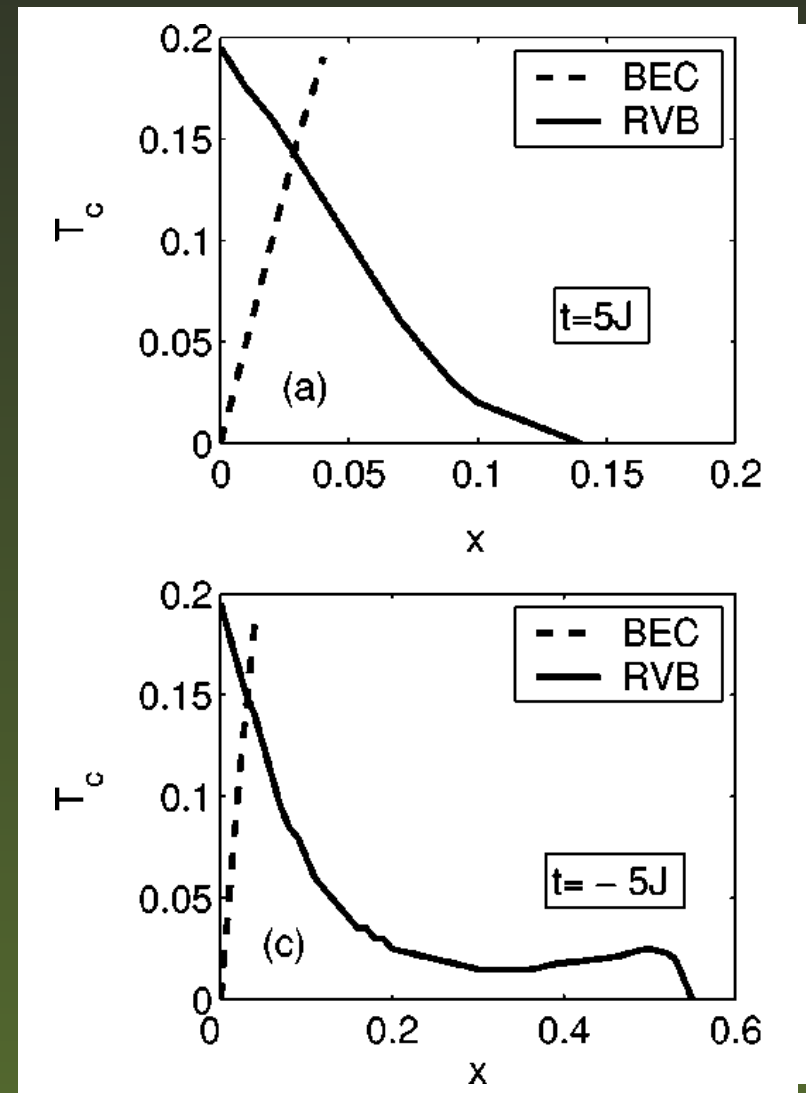
- sieć trójkątna
- spinony (z_i) w przybliżeniu średniego pola
zaniedbane oddziaływanie holon-spinon

$\text{Na}_x\text{CoO}_2 \cdot y\text{H}_2\text{O}$

M.M. E.K. A.F



MF SB: P. Lee, PRB 69 (2004)

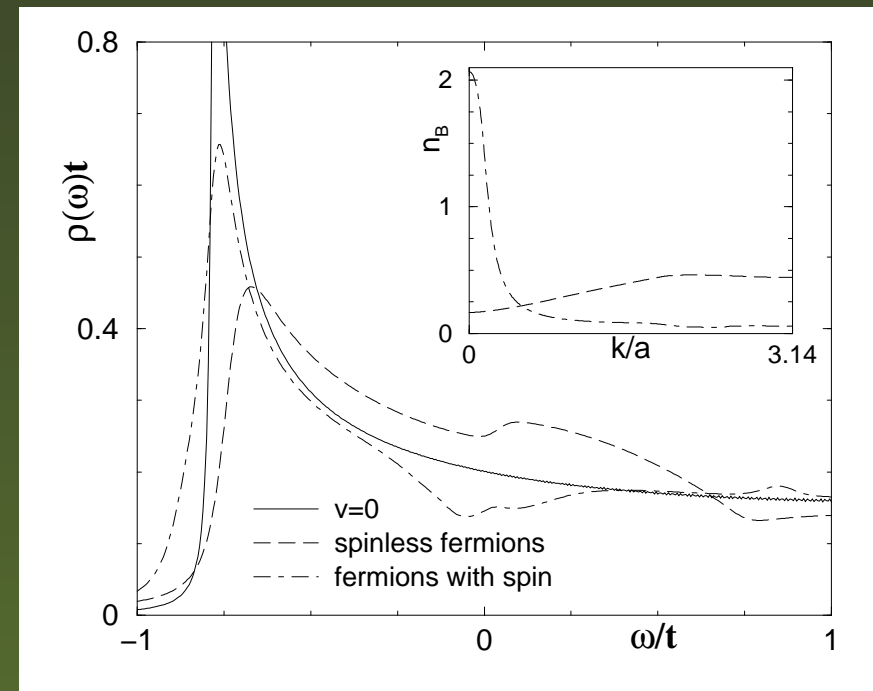
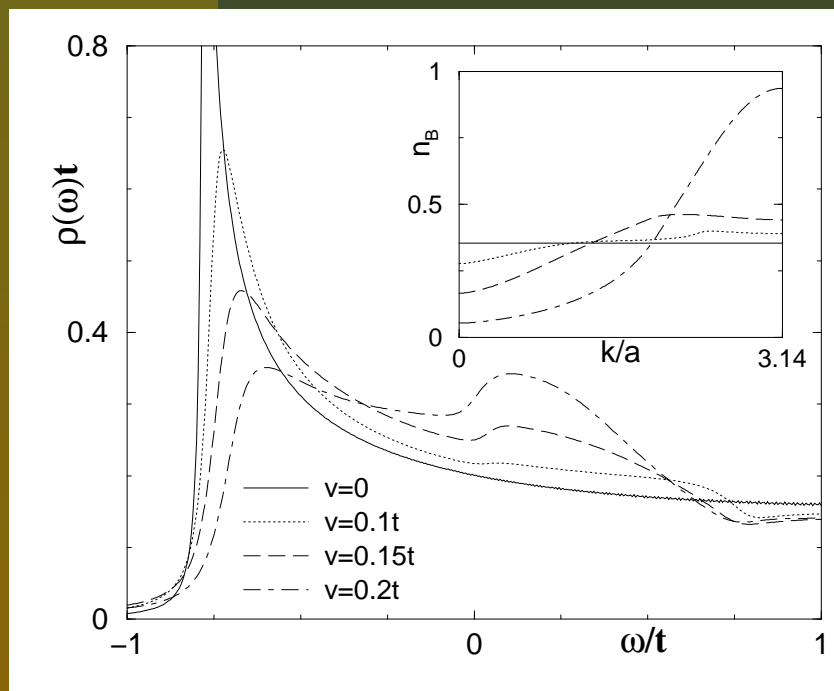


RVB - poza przybliżeniem MF

$$\begin{aligned} H_{eff} = & -t \sum_{\langle i,j \rangle} f_i f_j^\dagger - 2v \sum_{\langle i,j \rangle} f_i f_j (b_j^\dagger - b_i^\dagger) + H.c. \\ & + \Delta_B \sum_i b_i^\dagger b_i - \mu \sum_i (2b_i^\dagger b_i + f_i^\dagger f_i), \end{aligned}$$

RVB - poza przybliżeniem MF

$$\begin{aligned}
 H_{eff} = & -t \sum_{\langle i,j \rangle} f_i f_j^\dagger - 2v \sum_{\langle i,j \rangle} f_i f_j (b_j^\dagger - b_i^\dagger) + H.c. \\
 & + \Delta_B \sum_i b_i^\dagger b_i - \mu \sum_i (2b_i^\dagger b_i + f_i^\dagger f_i),
 \end{aligned}$$



podsumowanie

Najważniejsze pytania:

- koncentracja nośników
- symetria parametru porządku: singlet/tryplet

podsumowanie

Najważniejsze pytania:

- koncentracja nośników
- symetria parametru porządku: singlet/tryplet

Wiemy:

- układy kwazi–dwuwymiarowe
- istotne znaczenie korelacji elektronowych

podsumowanie

Najważniejsze pytania:

- koncentracja nośników
- symetria parametru porządku: singlet/tryplet

Wiemy:

- układy kwazi–dwuwymiarowe
- istotne znaczenie korelacji elektronowych

Przypuszczalnie:

- najprostszy model: 2D t - J